

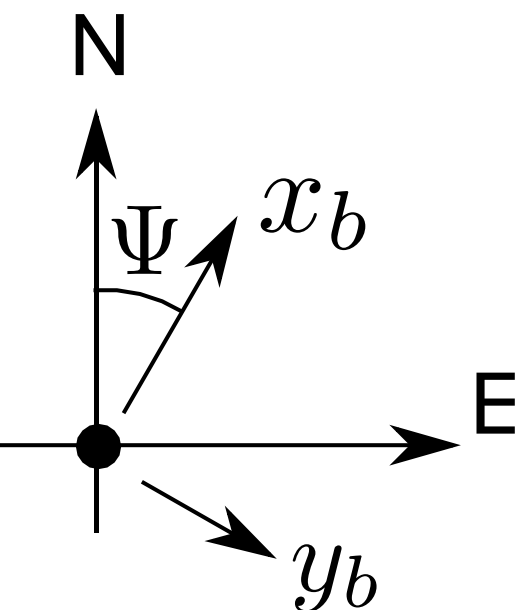


Determinação de atitude e filtro de Kalman estendido

Introdução

Sistemas de referência

- Também conhecido como sistema de coordenadas ou eixos coordenados
- Usado para descrever os mais diversos vetores e propriedades:
 - Posição, velocidade, aceleração
 - Força, torque
 - Momentos de inércia
- Os sistemas mecânicos podem ser descritos em qualquer sistema de referência
- Alguns serão mais convenientes que outros
- Informações podem ser convertidas de um sistema para outro
- Sistemas podem se mover e/ou rotacionar em relação a outros

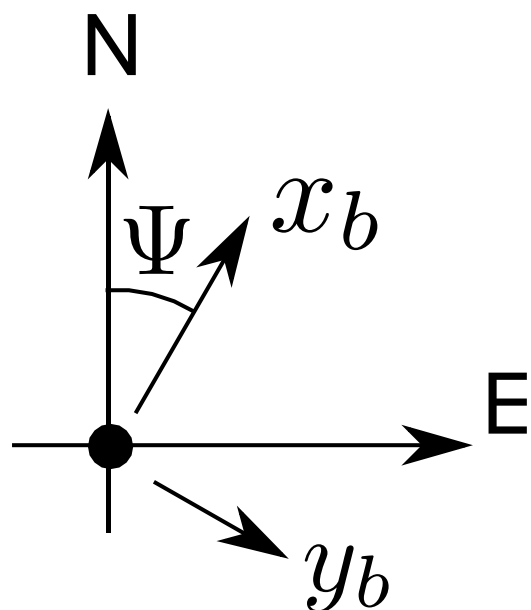


Exemplo simples em duas dimensões

Na ilustração:

- As direções norte e leste definem um sistema de referência S_{NED} .
 - S: letra usada para representar sistemas de referência
 - N: north (norte)
 - E: east (leste)
 - D: down (vertical para baixo, omitido)
- A bolinha preta é uma pessoa (ou veículo).
- A direção frontal e lateral definem um sistema de referência do corpo S_b
 - x_b é a frente
 - y_b é a lateral direita
- Ambos os eixos são dextrogiros (regra da mão direita), e os eixos de referência são ortogonais e de norma unitária (ortonormais)
- Ψ é o ângulo de rotação entre os sistemas

Exemplo simples em duas dimensões



Se a pessoa diz: estou vendo um ponto 10 m à minha frente, e se $\Psi = 30^\circ$, qual a coordenada desse ponto no sistema S_{NED} ?

Atenção: na definição que estamos usando, a coordenada possui formato (N,E), sendo o contrário do usual (ou seja, o “eixo x”, ou primeiro eixo, está para cima no desenho).

Exemplo simples em duas dimensões

Por trigonometria:

$$p_N = 10 \cos 30^\circ \approx 8,66$$

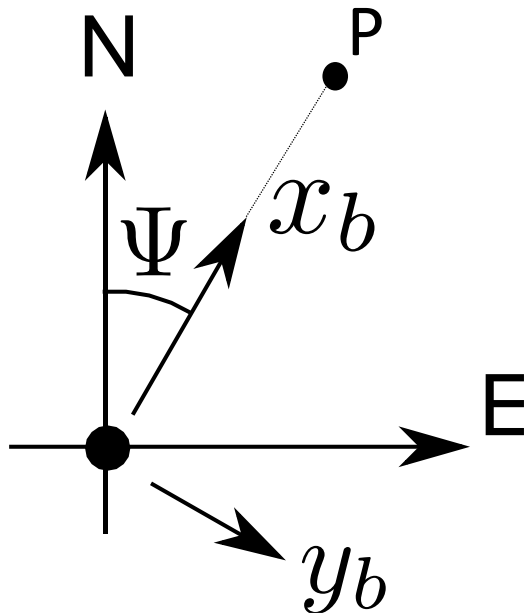
$$p_E = 10 \sin 30^\circ = 5$$

Assim: $\mathbf{p}_{\text{NED}} = \begin{bmatrix} 8,66 \\ 5 \end{bmatrix}$. Veja que $\mathbf{p}_b = \begin{bmatrix} 10 \\ 0 \end{bmatrix}$

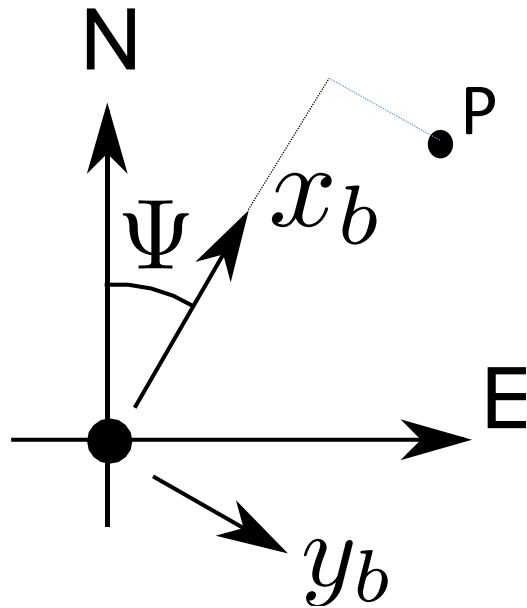
O subscrito NED ou b indicam qual o sistema de referência utilizado para descrever \mathbf{p}

Veja que $\|\mathbf{p}_{\text{NED}}\| = \|\mathbf{p}_b\| = 10$

Veja também que p_N e p_E são o produto interno (projeção) de \mathbf{P} com respectivamente \mathbf{N} e \mathbf{E}



Exemplo simples em duas dimensões



Agora o ponto está 10 metros à frente, e 3 metros à direita da pessoa. Ou seja:

$$\mathbf{p}_b = \begin{bmatrix} 10 \\ 3 \end{bmatrix}$$

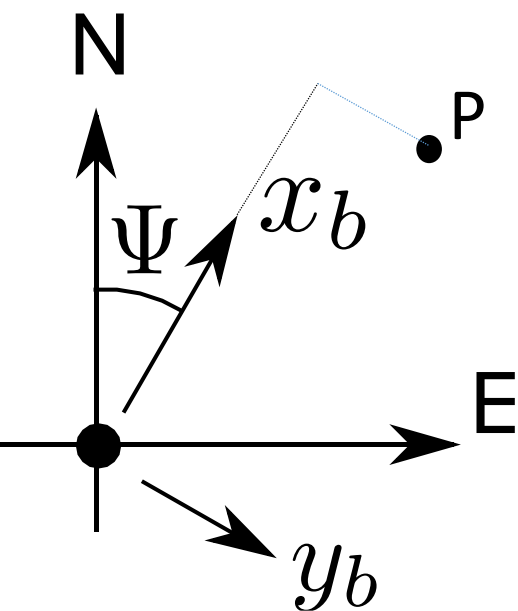
Qual a coordenada no sistema S_{NED} ?

Exemplo simples em duas dimensões

Agora o ponto está 10 metros à frente, e 3 metros à direita da pessoa. Ou seja:

$$\mathbf{p}_b = \begin{bmatrix} 10 \\ 3 \end{bmatrix}$$

Qual a coordenada no sistema S_{NED} ?



Solução:

Os efeitos das distâncias podem ser tratados de modo separado e somados ao final. Assim:

$$p_N = 10 \cos 30^\circ - 3 \sin 30^\circ \approx 7,16$$

$$p_E = 10 \sin 30^\circ + 3 \cos 30^\circ \approx 7,60$$

Ou:

$$\begin{bmatrix} p_N \\ p_E \end{bmatrix} = \begin{bmatrix} \cos \Psi & -\sin \Psi \\ \sin \Psi & \cos \Psi \end{bmatrix} \begin{bmatrix} p_x \\ p_y \end{bmatrix} \rightarrow \mathbf{p}_{NED} = \mathbf{D}_{NED}^b \mathbf{p}_b$$

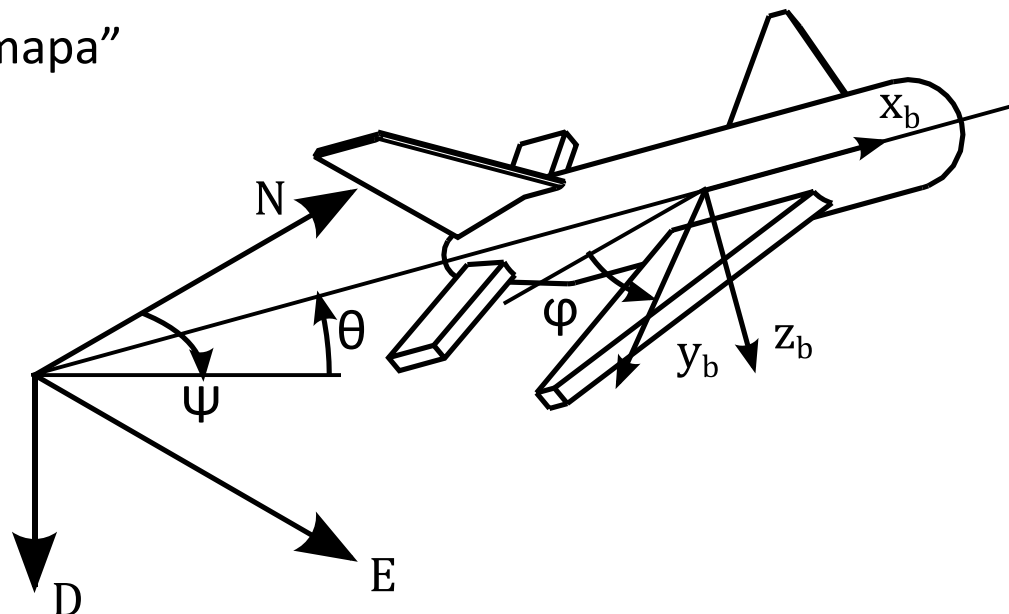
Atitude

Atitude:

- Orientação, ou pose, entre algo (pessoa, robô, avião, celular) e um local (horizonte, estrelas, outro objeto)
- Relação angular entre dois sistemas de referência
 - Em um mundo **2D**, é necessário apenas **1 ângulo**.
 - Em um mundo **3D**, são necessários **3 ângulos**.

Sistema NED S_{NED} e sistema do corpo S_b

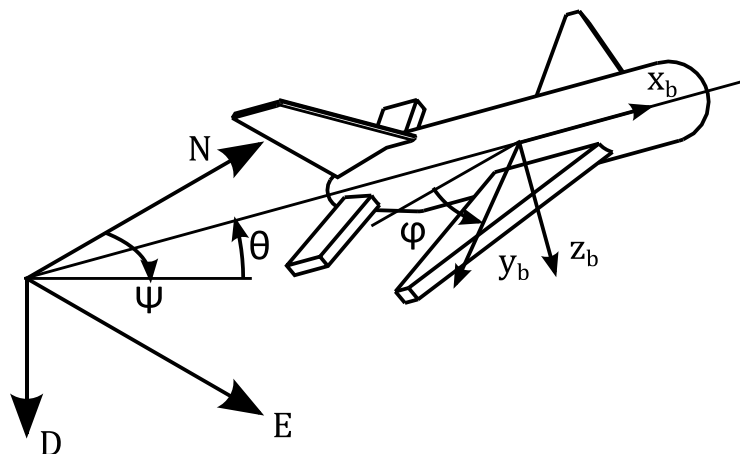
- S_{NED} : coordenadas “de um mapa”
 - Norte/sul
 - leste/oeste
 - “constante”
- S_b : coordenada do objeto
 - Frente/trás
 - Esquerda/direita
 - Varia com o tempo



Matriz de rotação

Matriz de rotação rotaciona vetor de NED para sistema do corpo:

$$\begin{aligned} \mathbf{D}_b^{\text{NED}} &= \mathbf{D}_1(\phi) \mathbf{D}_2(\theta) \mathbf{D}_3(\psi) = \\ &\begin{bmatrix} 1 & 0 & 0 \\ 0 & \cos \phi & \sin \phi \\ 0 & -\sin \phi & \cos \phi \end{bmatrix} \begin{bmatrix} \cos \theta & 0 & -\sin \theta \\ 0 & 1 & 0 \\ \sin \theta & 0 & \cos \theta \end{bmatrix} \begin{bmatrix} \cos \psi & \sin \psi & 0 \\ -\sin \psi & \cos \psi & 0 \\ 0 & 0 & 1 \end{bmatrix} = \\ &\begin{bmatrix} \cos \psi \cos \theta & \sin \psi \cos \theta & -\sin \theta \\ \cos \psi \sin \theta \sin \phi - \sin \psi \cos \phi & \sin \psi \sin \theta \sin \phi + \cos \psi \cos \phi & \cos \theta \sin \phi \\ \cos \psi \sin \theta \cos \phi + \sin \psi \sin \phi & \sin \psi \sin \theta \cos \phi - \cos \psi \sin \phi & \cos \theta \cos \phi \end{bmatrix} \end{aligned}$$



Matriz de rotação

Matriz que rotaciona do sistema do corpo para NED:

$$\mathbf{D}_{\text{NED}}^b = \left[\mathbf{D}_b^{\text{NED}} \right]^{-1} = \left[\mathbf{D}_b^{\text{NED}} \right]^T$$

Matriz ortogonal e normal: ortonormal

- Inversa igual transposta
- Linhas/colunas são vetores unitários

Ordem da rotação ($\psi \rightarrow \theta \rightarrow \phi$) / (3-2-1) / (guinada, arfagem, rolamento) é importante

- Verifique com um livro e rotações de 90°
- Problema de singularidade (*gimbal-lock*).
 - Exemplo: avião em voo vertical
 - Foguetes, por exemplo, usam outra sequência de rotação
- Ângulos de rotação são também conhecidos por **ângulos de Euler**

Problema de determinação de atitude

Determinação (estimação) de atitude: calcular ou estimar parâmetros que definam completamente a orientação/atitude do objeto.
Possibilidades:

Ângulos de Euler 3 parâmetros Representação mínima Singularidade/descontinuidade Natural para humanos	Matriz de rotação 9 parâmetros Precisa garantir ortonormalidade Não singular
Quatérnions 4 parâmetros Precisa garantir norma unitária Não singular	Outras opções Usualmente com 3 parâmetros e local da singularidade ajustável

- Usualmente feito a partir de dados de dois ou mais sensores tri-axiais (sensores que medem em 3 eixos).
- Soluções que consideram ou não o ruído

Exemplos de uso de determinação de atitude



- Inclinação do celular serve como comando para o jogo
- Imagem do jogo pode rotacionar no sentido contrário para manter horizonte na horizontal



- Sistema de controle mantém a atitude da câmera (em relação ao horizonte) constante

Sensores

Nomenclatura: Inertial measurement unit – IMU:

- Conjunto de **acelerômetro** + **girômetro** – conjunto suficiente para realização de navegação inercial

Sensores de baixo custo (ex: celular, autopiloto para aeromodelos):

- Tecnologia: MEMS (Microelectromechanical systems) - Sistemas microeletromecânicos
- Baixa precisão (ruído, viés), mas baixo custo
- Inclui acelerômetro, girômetro e, frequentemente, **magnetômetro**, em um único chip de silício
 - Fabricantes costumam chamar de IMU o chip com os 3 sensores
 - Preciosismo de nomenclatura: mesmo que seja um único chip, é mais correto chamar de IMU com magnetômetro

Sensores

Sensores utilizados na estimação de atitude:

- Medida vetorial
 - 3 medidas por sensor
 - Medidas são componentes do vetor, descritas em S_b
- Vetor é assumido conhecido em S_{NED}
- Relação entre vetor conhecido (ex: campo magnético aponta para o norte) e valor medido (ex: pelo magnetômetro/bússola preso ao corpo) é dada pelos ângulos de Euler

$$\mathbf{v}_b(t) = \mathbf{D}_b^{\text{NED}}(\phi, \theta, \psi) \mathbf{v}_{\text{NED}}(t)$$

- Assumiremos, por simplificação, que \mathbf{v}_b e \mathbf{v}_{NED} são descritos em unidade de medida em que vetores possuem naturalmente norma unitária (ex: aceleração da gravidade medida em g)
 - Ruído de sensor pode fazer com que norma deixe de ser unitária

Sensores

Magnetômetro: mede direção do norte magnético. Por simplificação, assumiremos aqui que coincide com o norte geográfico. Assumiremos também aqui que a medida foi pré-normalizada. Sensor está preso ao corpo (avião, por exemplo), compartilhando seu sistema de referência. Sensor possui ruído. Modelo:

$$\mathbf{m}_b = \mathbf{D}_b^{\text{NED}} \begin{bmatrix} 1 \\ 0 \\ 0 \end{bmatrix} + \mathbf{w} = \begin{bmatrix} \cos \psi \cos \theta \\ \cos \psi \sin \theta \sin \phi - \sin \psi \cos \phi \\ \cos \psi \sin \theta \cos \phi + \sin \psi \sin \phi \end{bmatrix} + \mathbf{w}$$

Acelerômetro: assumindo objeto que não acelera, força de Coriolis desprezível, sensor instalado muito próximo ao CG do objeto, ele mede a reação à gravidade. Assumindo medida normalizada:

$$\mathbf{a}_b = \mathbf{D}_b^{\text{NED}} \begin{bmatrix} 0 \\ 0 \\ -1 \end{bmatrix} + \mathbf{w} = \begin{bmatrix} \sin \theta \\ -\cos \theta \sin \phi \\ -\cos \theta \cos \phi \end{bmatrix} + \mathbf{w}$$

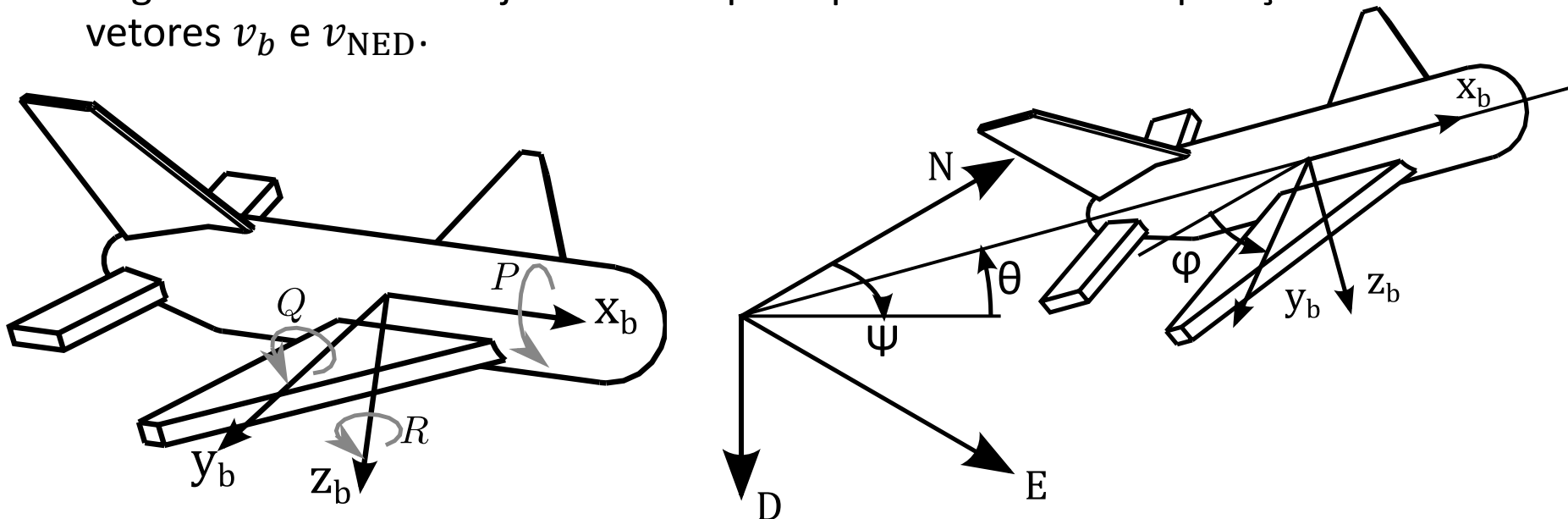
Sensores

Outros sensores – solução geral:

$$\mathbf{v}_b(t) = \mathbf{D}_b^{\text{NED}}(\phi, \theta, \psi) \mathbf{v}_{\text{NED}}(t) + \mathbf{w}$$

- Exemplos: câmera que aponta objeto com coordenada conhecida, star tracker (satélites), magnetômetro quando o campo magnético não está alinhado com o norte

Girômetro (gyro): mede velocidade angular $\boldsymbol{\omega}_b = [P \ Q \ R] + \mathbf{w}$. É importante salientar que velocidade angular **não é** a derivada dos ângulos de atitude. Veja também que aqui não é uma comparação entre vetores \mathbf{v}_b e \mathbf{v}_{NED} .



Modelo dinâmico não-linear da atitude

Relação entre atitude e velocidade angular:

$$\frac{d}{dt} \begin{bmatrix} \phi \\ \theta \\ \psi \end{bmatrix} = \begin{bmatrix} 1 & \tan \theta \sin \phi & \tan \theta \cos \phi \\ 0 & \cos \phi & -\sin \phi \\ 0 & \frac{\sin \phi}{\cos \theta} & \frac{\cos \phi}{\cos \theta} \end{bmatrix} \begin{bmatrix} P \\ Q \\ R \end{bmatrix}$$

$$\begin{bmatrix} P \\ Q \\ R \end{bmatrix} = \begin{bmatrix} 1 & 0 & -s\Theta \\ 0 & c\Phi & c\Theta s\Phi \\ 0 & -s\Phi & c\Theta c\Phi \end{bmatrix} \begin{bmatrix} \dot{\Phi} \\ \dot{\Theta} \\ \dot{\Psi} \end{bmatrix}$$

Discussão

Desejamos fazer um estimador de atitude. Ou seja, queremos estimar ψ , θ e ϕ .

Considerando $x = [\psi \ \theta \ \phi]$, veja que, nos slides anteriores, foi dado:

a) Equação dinâmica não-linear $\dot{x}(t) = f(x(t), u(t))$

$$\frac{d}{dt} \begin{bmatrix} \phi \\ \theta \\ \psi \end{bmatrix} = \begin{bmatrix} 1 & \tan \theta \sin \phi & \tan \theta \cos \phi \\ 0 & \cos \phi & -\sin \phi \\ 0 & \frac{\sin \phi}{\cos \theta} & \frac{\cos \phi}{\cos \theta} \end{bmatrix} \begin{bmatrix} P \\ Q \\ R \end{bmatrix}$$

b) Medidas de sensores $y(t) = h(x(t))$

$$\mathbf{m}_b = \begin{bmatrix} \cos \psi \cos \theta \\ \cos \psi \sin \theta \sin \phi - \sin \psi \cos \phi \\ \cos \psi \sin \theta \cos \phi + \sin \psi \sin \phi \end{bmatrix} \quad \mathbf{a}_b = \begin{bmatrix} \sin \theta \\ -\cos \theta \sin \phi \\ -\cos \theta \cos \phi \end{bmatrix}$$

Discussão

Pode-se resolver o problema de estimação de atitude por 3 caminhos distintos:

- a) Assumir medidas perfeitas
 - TRIAD (triaxial attitude determination)
 - Outras soluções analíticas
 - Solução exige apenas dois sensores (acc e mag, por exemplo)
- b) Assumir medidas ruidosas (imprecisas), mas desconsiderar estimativas anteriores
 - QUEST (quaternion estimator)
 - Exige dois sensores e o conhecimento da matriz de covariância do ruído de cada sensor
- c) Assumir medidas ruidosas, considerar modelo dinâmico
 - Problema não linear: FK não funciona
 - Soluções: EKF (FK estendido) e UKF (FK unscented)
 - Precisa de 3 sensores, incluindo girômetro



TRIAD

Triaxial Attitude Determination

TRIAD

Propriedade: a matriz de rotação \mathbf{D}_y^x (x, y sistemas de coordenadas quaisquer) é composta pelos vetores-base de x descritos em y

Exemplo:

$$\mathbf{D}_{NED}^b = \begin{bmatrix} [\mathbf{x}_b]_{NED} & [\mathbf{y}_b]_{NED} & [\mathbf{z}_b]_{NED} \end{bmatrix}$$

Em que:

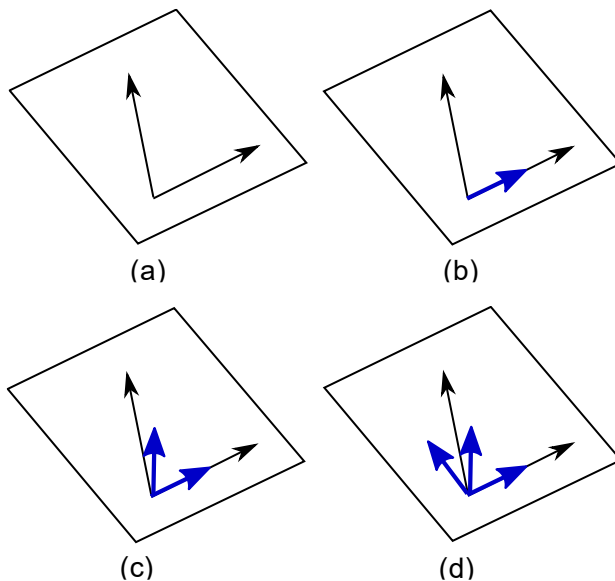
$$[\mathbf{x}_b]_{NED} = \mathbf{D}_{NED}^b \mathbf{x}_b = \mathbf{D}_{NED}^b \begin{bmatrix} 1 \\ 0 \\ 0 \end{bmatrix}$$

E $[\mathbf{y}_b]_{NED}$ e $[\mathbf{z}_b]_{NED}$ definidos de modo similar. Veja que a igualdade acima pode ser verificada verdadeira pela própria definição.

TRIAD

TRIAD:

- Utilizando dois vetores quaisquer conhecidos em NED, gerar 3 vetores ortonormais. No exemplo: campos magnético e gravitacional



$$[\mathbf{x}_{\text{int}}]_{\text{NED}} = \frac{\mathbf{g}_{\text{NED}}}{\|\mathbf{g}_{\text{NED}}\|}$$

$$[\mathbf{y}_{\text{int}}]_{\text{NED}} = \frac{\mathbf{g}_{\text{NED}} \times \mathbf{m}_{\text{NED}}}{\|\mathbf{g}_{\text{NED}} \times \mathbf{m}_{\text{NED}}\|}$$

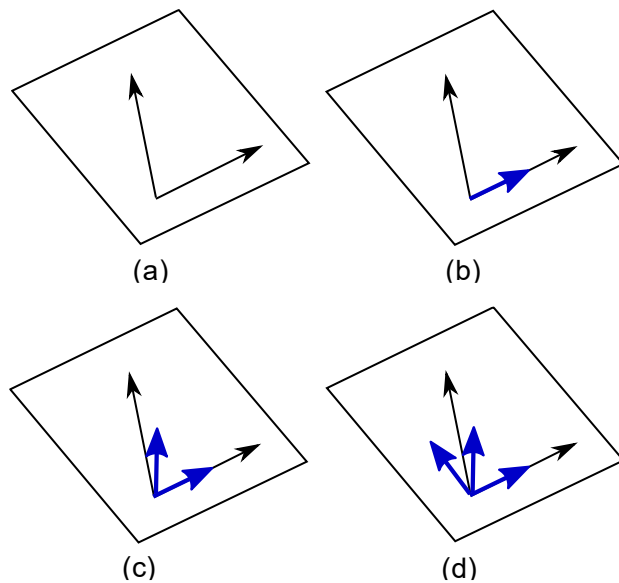
$$[\mathbf{z}_{\text{int}}]_{\text{NED}} = [\mathbf{x}_{\text{int}}]_{\text{NED}} \times [\mathbf{y}_{\text{int}}]_{\text{NED}}$$

- Vetores definem um sistema de coordenadas intermediário S_{int}

$$\mathbf{D}_{\text{NED}}^{\text{int}} = \begin{bmatrix} [\mathbf{x}_{\text{int}}]_{\text{NED}} & [\mathbf{y}_{\text{int}}]_{\text{NED}} & [\mathbf{z}_{\text{int}}]_{\text{NED}} \end{bmatrix}$$

TRIAD

Repete para os mesmos vetores, mas em S_b , ou seja, medidos em sensores afixados ao corpo:



$$[\mathbf{x}_{\text{int}}]_b = \frac{\mathbf{g}_b}{\|\mathbf{g}_b\|},$$

$$[\mathbf{y}_{\text{int}}]_b = \frac{\mathbf{g}_b \times \mathbf{m}_b}{\|\mathbf{g}_b \times \mathbf{m}_b\|},$$

$$[\mathbf{z}_{\text{int}}]_b = [\mathbf{x}_{\text{int}}]_b \times [\mathbf{y}_{\text{int}}]_b.$$

$$\mathbf{D}_b^{\text{int}} = \begin{bmatrix} [\mathbf{x}_{\text{int}}]_b & [\mathbf{y}_{\text{int}}]_b & [\mathbf{z}_{\text{int}}]_b \end{bmatrix}.$$

$$\mathbf{D}_b^{\text{NED}} = \mathbf{D}_b^{\text{int}} [\mathbf{D}_{\text{NED}}^{\text{int}}]^T.$$

Os ângulos de Euler podem ser obtidos de $\mathbf{D}_b^{\text{NED}}$ (ver exemplo Simulink)



Estimação não-linear

EKF

Introdução

O filtro de Kalman só funciona para sistemas lineares.

Uma solução mais grosseira é linearizar o modelo em torno de um ponto de operação, o que fornece um sistema linear. Então, projetar um filtro de Kalman para sistema linearizado.

- Exemplo: em mecânica do voo, mostra-se que o modelo não linear da aeronave pode ser linearizado. A ideia seria aplicar o FK no sistema linear (ex: modelo longitudinal)

Uma solução mais elegante é desenvolver uma solução que funcione em sistemas não lineares.

Infelizmente o problema não linear é mais amplo que o linear, e não existe uma solução ótima que funcione em todos os casos. Algumas soluções não ótimas foram propostas:

- Filtro de Kalman estendido: lineariza problema em torno da estimativa para calcular covariância. Lineariza a cada iteração.
- Filtro de Kalman unscented / filtro de partículas: gera vários pontos. Usa estatística para ver como pontos se comportam na função não linear.

EKF – Filtro de Kalman Estendido

- A propagação de $\mathbf{x}_{k|k} \rightarrow \mathbf{x}_{k+1|k}$ é feita usando a função não linear:

$$\mathbf{x}_{k+1|k} = f(\mathbf{x}_{k|k}, \mathbf{u}_k)$$

- A estimativa da medida de sensor também é feita utilizando a função não-linear:

$$\hat{\mathbf{y}}_{k+1} = h(\mathbf{x}_{k+1|k})$$

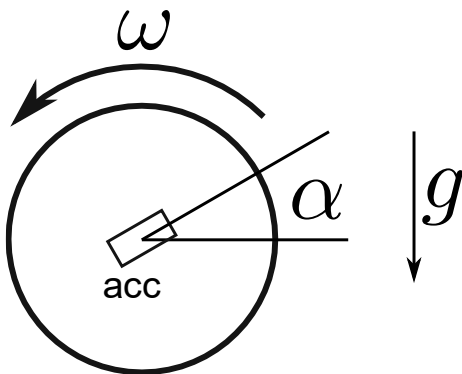
- Para o cálculo das covariâncias e ganho, é necessário calcular Jacobianos (derivadas)

$$\mathbf{F}_k = \left. \frac{\partial f(\mathbf{x}, \mathbf{u})}{\partial \mathbf{x}} \right|_{\substack{\mathbf{x}=\hat{\mathbf{x}}_{k|k} \\ \mathbf{u}=\mathbf{u}_k}}, \mathbf{G}_k = \left. \frac{\partial f(\mathbf{x}, \mathbf{u})}{\partial \mathbf{u}} \right|_{\substack{\mathbf{x}=\hat{\mathbf{x}}_{k|k} \\ \mathbf{u}=\mathbf{u}_k}}, \mathbf{H}_{k+1} = \left. \frac{\partial h(\mathbf{x})}{\partial \mathbf{x}} \right|_{\mathbf{x}=\mathbf{x}_{k+1|k}}$$

- Equações do EKF idênticas às do KF, mas usando as matrizes Jacobianas
- Veja que, se problema linear, a Jacobiana é a própria matriz \mathbf{F}_k , \mathbf{G}_k , \mathbf{H}_{k+1}

EKF - Exemplo

Suponha um estimador de atitude, unidimensional. Vimos em slide anterior (Filtro de Kalman linear). Entretanto, ao invés de potenciômetro, utilizaremos um acelerômetro



$$x_k = \alpha_k$$

$$u_k = \omega_k$$

Propagação (linear):

$$x_{k+1} = x_k + Tu_k + Tw_{u,k}, \quad E[w_{u,k}w_{u,j}] = q_u\delta_{kj}$$

Medição:

$$y_k = \sin x_k$$

EKF - Exemplo

Assim, a parte da predição é exatamente o que usamos no FK linear:

$$\mathbf{F}_k = 1, \mathbf{G}_k = T$$

E na atualização:

$$\mathbf{H}_{k+1} = \cos \hat{x}_{k+1|k}$$

Ver simulação disponibilizada. Prestar atenção nas equações dentro de cada bloco. Ver resultados.

EKF - Exemplo

Discussão:

- \mathbf{H}_{k+1} muda a cada iteração
 - \mathbf{H}_{k+1} seria calculado com mais precisão utilizando x_k ao invés de $\hat{x}_{k+1|k}$ mas, por definição, não temos acesso ao valor verdadeiro
 - Veja que, se $\hat{x}_{k+1|k} = \frac{\pi}{2}$ rad, $\mathbf{H}_{k+1} = 0$
 - Isso significa que sensor não trás informação (por que?)
 - Veja que um sistema não-linear pode alternar entre observável e não-observável conforme estado, mesmo sem mudar modelo ou sensores
 - Problema de observabilidade pode ser resolvido usando dois acelerômetros perpendiculares:
- $$\mathbf{y}_k = \begin{bmatrix} \sin x_k \\ \cos x_k \end{bmatrix} \rightarrow \hat{\mathbf{y}}_{k+1} = \begin{bmatrix} \sin \hat{x}_{k+1|k} \\ \cos \hat{x}_{k+1|k} \end{bmatrix} \rightarrow \mathbf{H}_{k+1} = \begin{bmatrix} \cos \hat{x}_{k+1|k} \\ -\sin \hat{x}_{k+1|k} \end{bmatrix}$$
- Pode-se estimar viés de girômetro (ver exemplo disponibilizado)

EKF – Exemplo 2

Agora, considerando um sistema em 3 dimensões. Sensores

- Girômetro triaxial; magnetômetro triaxial; acelerômetro triaxial

Modelo:

$$\frac{d}{dt} \begin{bmatrix} \phi \\ \theta \\ \psi \end{bmatrix} = \begin{bmatrix} 1 & \tan \theta \sin \phi & \tan \theta \cos \phi \\ 0 & \cos \phi & -\sin \phi \\ 0 & \frac{\sin \phi}{\cos \theta} & \frac{\cos \phi}{\cos \theta} \end{bmatrix} \begin{bmatrix} P \\ Q \\ R \end{bmatrix}$$

Não é trivial discretizar. Solução: integral numérica. Por exemplo, integral numérica de primeira ordem*

$$\begin{bmatrix} \phi_{k+1} \\ \theta_{k+1} \\ \psi_{k+1} \end{bmatrix} = \begin{bmatrix} \phi_k \\ \theta_k \\ \psi_k \end{bmatrix} + \begin{bmatrix} 1 & \tan \theta_k \sin \phi_k & \tan \theta_k \cos \phi_k \\ 0 & \cos \phi_k & -\sin \phi_k \\ 0 & \frac{\sin \phi_k}{\cos \theta_k} & \frac{\cos \phi_k}{\cos \theta_k} \end{bmatrix} \begin{bmatrix} P \\ Q \\ R \end{bmatrix}^T$$

*É mais interessante utilizar integral de ordem maior (ex: Runge-Kutta)

EKF – Exemplo 2

A propagação da covariância é calculada mais facilmente via integral numérica da propagação contínua:

$$\dot{P} = AP + PA + Q$$

Mas, se quisermos utilizar a propagação discreta do slide anterior:

$$F = \begin{bmatrix} F_{11} & F_{12} & 0 \\ F_{21} & 1 & 0 \\ F_{31} & F_{32} & 1 \end{bmatrix}$$

$$F_{11} = 1 + \tan \theta_k \cos \phi_k q_k T - \tan \theta_k \sin \phi_k r_k T$$

$$F_{12} = \sec^2 \theta_k \sin \phi_k q_k T + \sec^2 \theta_k \cos \phi_k r_k T$$

$$F_{21} = -\sin \phi_k q_k T - \cos \phi_k r_k T$$

$$F_{31} = \frac{\cos \phi_k}{\cos \theta_k} q_k T - \frac{\sin \phi_k}{\cos \theta_k} r_k T$$

$$F_{32} = \sin \phi_k \sec \theta_k \tan \theta_k q_k T + \cos \phi_k \sec \theta_k \tan \theta_k r_k T$$

EKF – Exemplo 2

A matriz G é bem mais fácil de encontrar, visto que a entrada \mathbf{u} está separada da matriz:

Função não linear:

$$\begin{bmatrix} \phi_{k+1} \\ \theta_{k+1} \\ \psi_{k+1} \end{bmatrix} = \begin{bmatrix} \phi_k \\ \theta_k \\ \psi_k \end{bmatrix} + \begin{bmatrix} 1 & \tan \theta_k \sin \phi_k & \tan \theta_k \cos \phi_k \\ 0 & \cos \phi_k & -\sin \phi_k \\ 0 & \frac{\sin \phi_k}{\cos \theta_k} & \frac{\cos \phi_k}{\cos \theta_k} \end{bmatrix} \begin{bmatrix} P \\ Q \\ R \end{bmatrix}^T$$

Jacobiana:

$$\mathbf{G}_k = \begin{bmatrix} 1 & \tan \theta_k \sin \phi_k & \tan \theta_k \cos \phi_k \\ 0 & \cos \phi_k & -\sin \phi_k \\ 0 & \frac{\sin \phi_k}{\cos \theta_k} & \frac{\cos \phi_k}{\cos \theta_k} \end{bmatrix}^T$$

EKF – Exemplo 2

Magnetômetro:

$$\mathbf{m}_b = \begin{bmatrix} \cos \psi \cos \theta \\ \cos \psi \sin \theta \sin \phi - \sin \psi \cos \phi \\ \cos \psi \sin \theta \cos \phi + \sin \psi \sin \phi \end{bmatrix}$$

$$\mathbf{H}_{mb} = \begin{bmatrix} 0 & -\cos \psi \sin \theta & -\sin \psi \cos \theta \\ H_{21} & \cos \psi \cos \theta \sin \phi & H_{23} \\ H_{31} & \cos \psi \cos \theta \cos \phi & H_{33} \end{bmatrix}$$

$$H_{21} = \cos \psi \sin \theta \cos \phi + \sin \psi \sin \phi$$

$$H_{23} = -\sin \psi \sin \theta \sin \phi - \cos \psi \cos \phi$$

$$H_{31} = -\cos \psi \sin \theta \sin \phi + \sin \psi \cos \phi$$

$$H_{33} = -\sin \psi \sin \theta \cos \phi + \cos \psi \sin \phi$$

EKF – Exemplo 2

Acelerômetro:

$$\mathbf{a}_b = \begin{bmatrix} \sin \theta \\ -\cos \theta \sin \phi \\ -\cos \theta \cos \phi \end{bmatrix}$$

$$\mathbf{H}_{ab} = \begin{bmatrix} 0 & \cos \theta & 0 \\ -\cos \theta \cos \phi & \sin \theta \sin \phi & 0 \\ \cos \theta \sin \phi & \sin \theta \cos \phi & 0 \end{bmatrix}$$

Ver exemplo Simulink

EKF – Exemplo 2

Obs: as medidas dos sensores são do tipo $\mathbf{v}_b = \mathbf{D}_b^{NED} \mathbf{v}_{NED}$. Assumindo \mathbf{v}_{NED} independente do vetor de estados, pode-se calcular

$$\frac{\partial \mathbf{D}_b^{NED}}{\partial \phi}, \quad \frac{\partial \mathbf{D}_b^{NED}}{\partial \theta}, \quad \frac{\partial \mathbf{D}_b^{NED}}{\partial \psi}$$

E, assim:

$$\mathbf{H}_{vb} = \begin{bmatrix} \frac{\partial \mathbf{D}_b^{NED}}{\partial \phi} \mathbf{v}_{NED} & \frac{\partial \mathbf{D}_b^{NED}}{\partial \theta} \mathbf{v}_{NED} & \frac{\partial \mathbf{D}_b^{NED}}{\partial \psi} \mathbf{v}_{NED} \end{bmatrix}$$

Veja que isso é necessário, por exemplo, quando se considera campo magnético com declinação e inclinação (campo magnético não aponta para o norte geográfico) ou, por exemplo, usando câmera e visão computacional.